

ПАЛИНОСТРАТИГРАФИЯ НИЖНЕ-СРЕДНЕЮРСКИХ ОТЛОЖЕНИЙ ПОЛУОСТРОВА ТАЙМЫР (ВОСТОЧНАЯ СИБИРЬ)

Анна Анатольевна Горячева

Институт нефтегазовой геологии и геофизики им. А. А. Трофимука СО РАН, 630090, Россия,
г. Новосибирск, пр. Академика Коптюга, 3, кандидат геолого-минералогических наук, стар-
ший научный сотрудник, e-mail: GoryachevaAA@ipgg.sbras.ru

В статье представлены результаты палинологических исследований нижне-среднеюрских отложений, вскрытых скважиной Тулай-Киряка №1 и представленных зимней, аиркатской, китербютской, короткинской, апрелевской и арангастахской свитами. Изученная скважина расположена на территории Яно-Анабарской фациальной области морского седиментогенеза. В интервале плинсбаха-аалена в результате палинологического анализа выделено пять биостратонов со спорами и пыльцой и три биостратона с диноцистами.

Ключевые слова: палиностратиграфия, цисты динофлагеллат, споры, пыльца, нижняя и средняя юра, Восточная Сибирь.

PALYNOSRATIGRAPHY OF THE LOWER-MIDDLE JURASSIC DEPOSITS OF THE TAIMYR PENINSULA (EASTERN SIBERIA)

Anna A. Goryacheva

Trofimuk Institute of Petroleum Geology and Geophysics SB RAS, 3, Prospect Akademik Koptyug St., Novosibirsk, 630090, Russia, Ph. D., Senior Researcher, e-mail: GoryachevaAA@ipgg.sbras.ru

This paper presents the results of palynological study of the Lower–Middle Jurassic strata recovered from Tulai-Kiryaka 1 Borehole, Eastern Siberia. The Zimnyaya, Airkat, Kiterbyut, Korotkiy, Aprelevskiy and Arangastakh formations were studied. The borehole is situated on the territory of the Yana-Anabar facies area of marine sedimentogenesis. Five biostratons with spores/pollen and three biostratons with dinocysts were established for the Pliensbachian - Aalenian.

Key words: palynostratigraphy, dinoflagellate cysts, spores, pollen, Lower and Middle Jurassic, Eastern Siberia.

Палинологический метод широко используется для стратиграфических построений, корреляции разнофациальных отложений и палеогеографических реконструкций. В результате проведенных исследований было изучено 77 образцов из нижне-среднеюрских отложений, вскрытых скважиной Тулай-Киряка №1 и представленных зимней, аиркатской, китербютской, короткинской, апрелевской и арангастахской свитами. Изученная скважина располагается на полуострове Таймыр и по схеме фациального районирования относится к Восточно-Таймырскому району, Яно-Анабарской фациальной области морского седимен-тогенеза [Стратиграфия..., 2000; Никитенко, 2009].

В результате комплексного палинологического анализа выделено пять биостратонов со спорами и пыльцой и три биостратона с диноцистами. Обос-

нование геологического возраста проведено путем сравнительного анализа и сопоставления комплексов со спорами и пыльцой, выделенных в изученном разрезе, с зональными комплексами палиностратиграфической шкалы нижней и средней юры Сибири, в которой подразделения по спорам и пыльце увязаны с зональными шкалами по аммонитам, двустворкам, белемнитам, фораминиферам и которая используется в качестве биостратиграфического стандарта, а также сопоставления с характерными комплексами, выделенными на смежных территориях [Ильина и др., 2003; Решение..., 2004; Горячева, 2017]. По диноцистам для верхнего синемюра–тоара Восточной Сибири автором ранее было установлено шесть биостратонов в ранге слоев с диноцистами и предложен вариант расчленения нижнеюрских отложений по этой группе водорослей [Горячева, 2017], эти же подразделения были прослежены и выделены на территории п-ова Таймыр в изученной скважине (рис. 1, 2, 3). Выделенные биостратоны сопоставлены с микрофаунистическими данными, полученными ранее [Глинских, 2005; Никитенко, 2009].

Споры и пыльца

Палинокомплекс 1 (зимняя свита, гл. 340,8-270,5 м., обр. 1-28). Выявленный комплекс характерен для палинозоны 4 – *Stereisporites* spp., *Uvaesporites argenteaformis*, *Cycadopites* spp. Стратиграфический интервал - верхний плинсбах.

Палинокомплекс 2 (аиркатская свита, гл. 260-246,4 м., обр. 30-35). По общему составу ПК сходен с комплексом палинозоны 5 – *Tripartina variabilis*. Стратиграфический интервал - верхи верхнего плинсбаха – самые низы нижнего тоара.

Палинокомплекс 3 (китербютская свита, гл. 242-228,1 м., обр. 36-41) ПК хорошо сопоставляется по общему составу и характерным таксонам с зональным комплексом палинозоны 6 – *Cyathidites* spp., *Dipteridaceae*, *Marattisporites scabratus*, *Klukisporites variegatus*, *Classopollis*. Стратиграфический интервал - нижний тоар.

Палинокомплекс 4 (короткинская свита, гл. 226,1-210 м., обр. 42-46) Палинокомплекс сходен с комплексом палинозоны 7 - *Piceapollenites variabiliformis*, *Cyathidites minor*, *Osmundacidites* spp., *Dipteridaceae*, *Marattisporites scabratus*. Стратиграфический интервал - верхи нижнего тоара – верхний тоар.

Палинокомплекс 5 (апрелевская-арангастахская свиты, гл. 208-110,1 м., обр. 47-69) Палинокомплекс сходен с комплексом палинозоны 8 – *Cyathidites minor*, *Osmundacidites jurassicus*, *Piceapollenites variabiliformis*, *Stereisporites* spp., *Ginkgoscycadophytus* spp, стратиграфический интервал – аален.

Цисты динофлагеллат

Слои с *Mendicodinium* sp. (гл. 340,8 м). Нижняя граница биостратона проводится по появлению вида-индекса, а верхняя - по исчезновению микрофитопланктона. Стратиграфический интервал – верхний синемюр–нижняя часть верхнего плинсбаха.

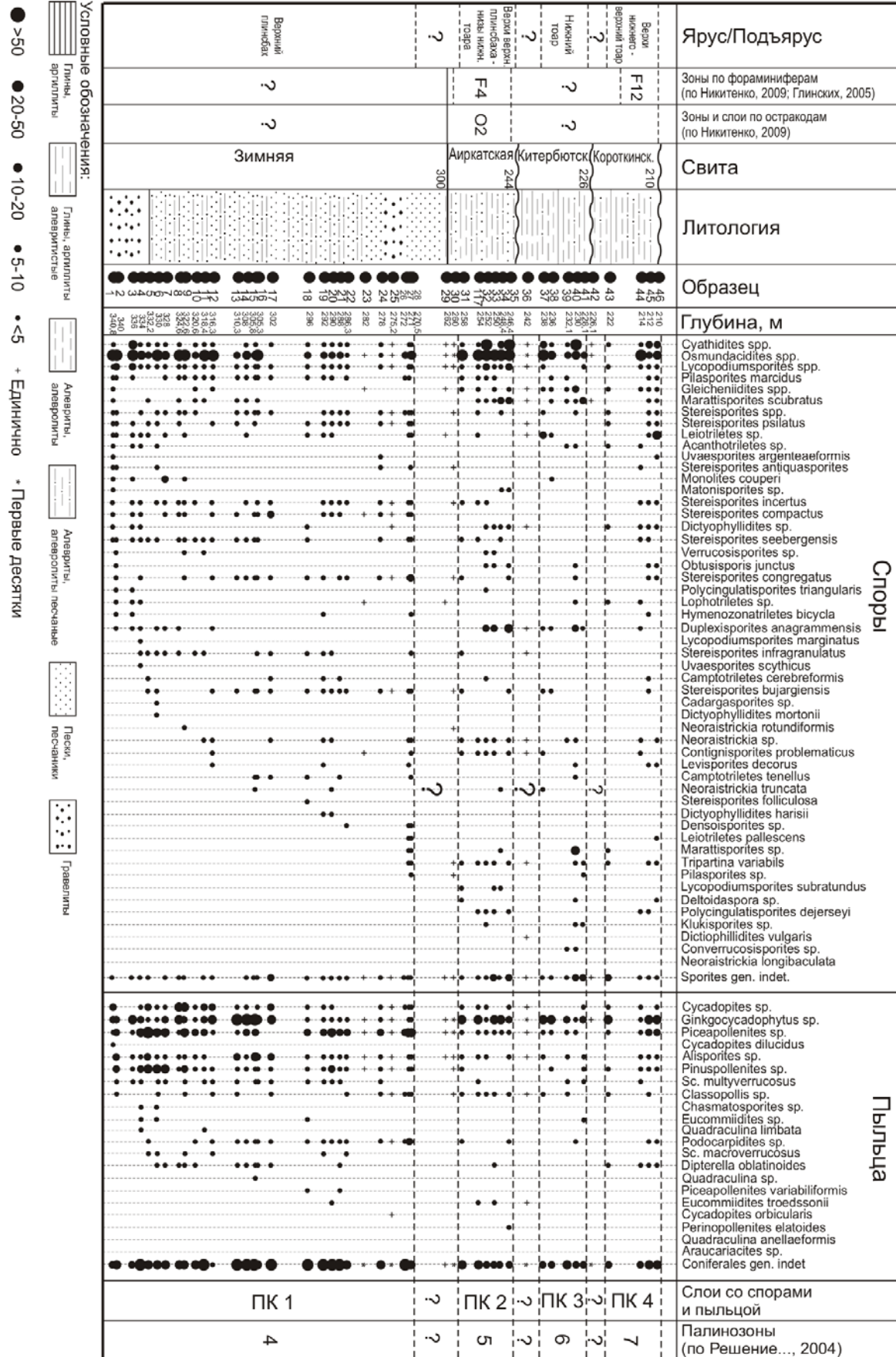


Рис. 1. Распределение палиноморф и расчленение нижнеюрских отложений в скв. Тулай-Киряка № 1 по палинологическим данным

Аален		Нижний байос	Ярус/подъярус
F16	Astacolus zwetkovi	F17	F18
O8	Lenticulina nordvikensis		
210		178	
Апрелевская		Арангастахская	
88		Свита	
Литология			
88		Образец	
Глубина, м		Глубина, м	
48	49	50	Cyathidites spp.
51	52	53	Osmundacidites spp.
54	55	56	Lycopodiumsporites spp.
58	59	60	Pilasporites marcidus
61	62	63	Gleicheniidites spp.
65	66	67	Marattisporites scubratus
69	70	71	Stereisporites spp.
72	73	74	Stereisporites psilatus
76	77	78	Leiotrilletes sp.
79	80	81	Acanthotriletes sp.
82	83	84	Uvaesporites argenteaformis
85	86	87	Stereisporites antiquasporites
88	89	90	Monolites couperi
92	93	94	Matonisporites sp.
95	96	97	Stereisporites incertus
97	98	99	Stereisporites compactus
99	100	101	Dictyophyllidites sp.
102	103	104	Stereisporites seebergensis
105	106	107	Verrucosporites sp.
108	109	110	Obtusisporis juncus
111	112	113	Stereiporites congregatus
114	115	116	Polycingulatisporites triangularis
117	118	119	Lophotriletes sp.
119	120	121	Hymenozonatrlletes bicycla
122	123	124	Duplexisporites anagrammensis
125	126	127	Lycopodiumsporites marginatus
128	129	130	Stereisporites infragranulatus
131	132	133	Uvaesporites scythicus
134	135	136	Camptotriletes cerebreformis
137	138	139	Stereisporites bujargensis
139	140	141	Cadargasporites sp.
142	143	144	Dictyophyllidites mortonii
145	146	147	Neoraistrickia rotundiformis
148	149	150	Neoraistrickia sp.
151	152	153	Contignisporites problematicus
154	155	156	Levisporites decorus
157	158	159	Camptotriletes tenellus
159	160	161	Neoraistrickia truncata
162	163	164	Stereisporites folliculosa
165	166	167	Dictyophyllidites harisi
168	169	170	Densoisporites sp.
171	172	173	Leiotriletes pallescens
173	174	175	Marattisporites sp.
176	177	178	Tripartina variabilis
177	178	179	Pilasporites sp.
179	180	181	Lycopodiumsporites subrotundus
181	182	183	Deltoidaspora sp.
183	184	185	Polycingulatisporites dejerseyi
185	186	187	Klikisporites sp.
187	188	189	Dictiophyllidites vulgaris
189	190	191	Con verrucosporites sp.
191	192	193	Neoraistrickia longibaculata
193	194	195	Sporites gen. indet.
195	196	197	Cycadopites sp.
197	198	199	Ginkgocycadophytus sp.
199	200	201	Piceapollenites sp.
201	202	203	Cycadopites dilucidus
203	204	205	Alisporites sp.
205	206	207	Pinuspollenites sp.
207	208	209	Sc. multyverrucosus
209	210	211	Classopolitis spp.
211	212	213	Chasmatosporites sp.
213	214	215	Eucommiidites sp.
215	216	217	Quadraculina limbata
217	218	219	Podocarpidites sp.
219	220	221	Sc. macroverrucosus
221	222	223	Dipterella oblatinoidea
223	224	225	Quadraculina sp.
225	226	227	Piceapollenites variabiliformis
227	228	229	Eucommiidites troedssonii
229	230	231	Cycadopites orbicularis
231	232	233	Perinopollenites elatoidea
233	234	235	Quadraculina anellaeformis
235	236	237	Araucariacites sp.
237	238	239	Coniferales gen. indet
239	240	241	Слои со спорами и пыльцой
241	242	243	Палинозоны (Решение..., 2004)

Рис. 2. Распределение палиноморф и расчленение среднеюрских отложений в скв. Тулай-Киряк № 1 по палинологическим данным
(Условные обозначения на рис. 1)

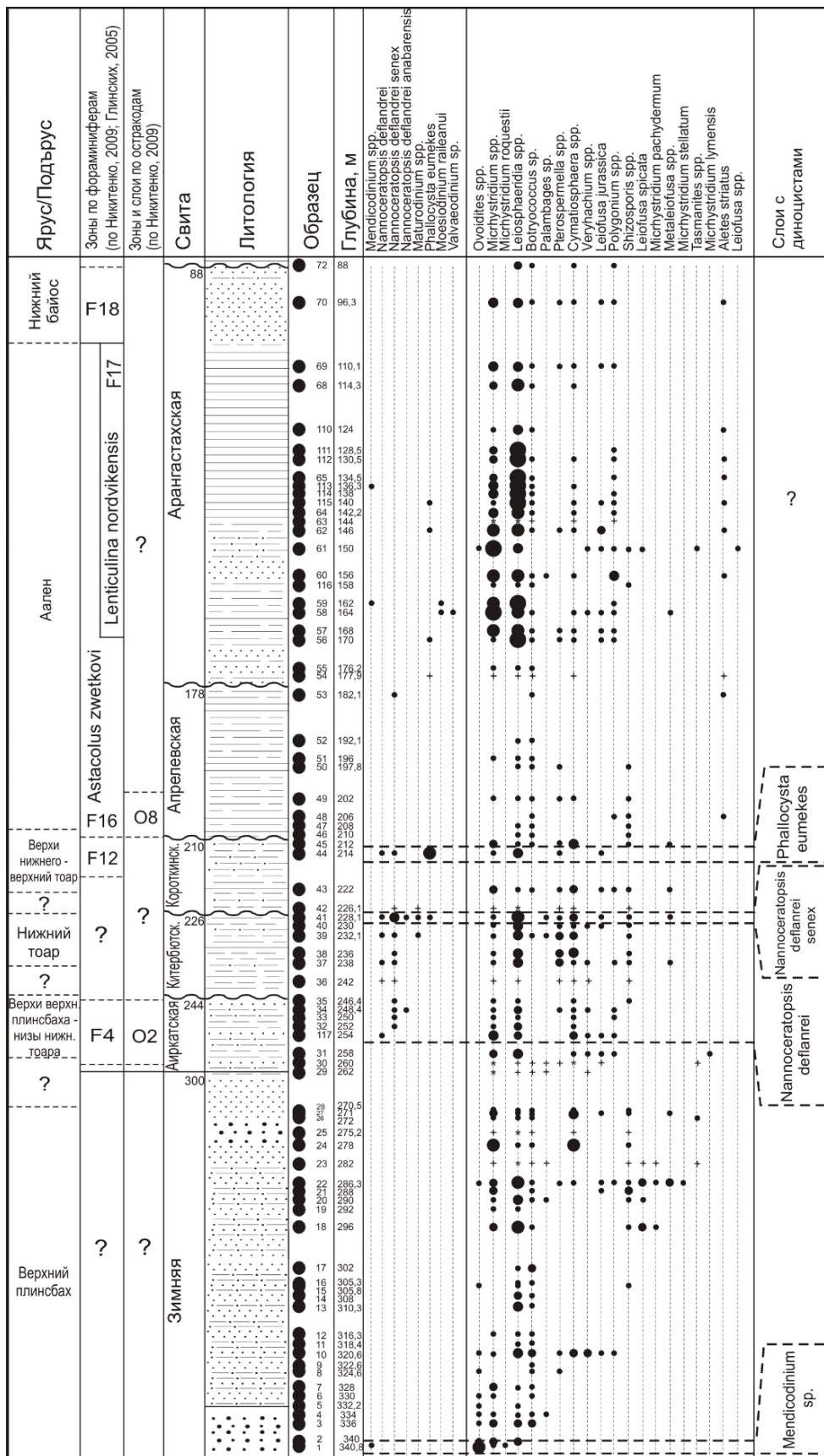


Рис. 3. Распределение микрофитопланктона и расчленение
нижне-среднеюрских отложений по диноцистам в скв. Тулай-Киряка № 1
(Условные обозначения на рис. 1)

Слои с *Nannoceratopsis deflandrei* (инт. 254-232,1 м). Биостратон ограничен в основании первым появлением нанноцератопсисов, а сверху - резким увеличением количества и максимальным развитием *N. deflandrei senex* (Van Helden) Iljina. Стратиграфический интервал – верхи плинсбаха – нижний тоар.

Слои с *Nannoceratopsis deflandrei senex* (гл. 228,1 м). Биостратон выделен по акме вида-индекса. Стратиграфическое положение – нижний тоар.

Слои с *Phallocysta eumekes* (гл. 214 м). Биостратон выделен по акме вида-индекса. Стратиграфический интервал – верхи нижнего – низы верхнего тоара.

Поскольку палинологических данных по изученной территории (п-ов Таймыр) крайне мало, то проведенное исследование является важным и актуальным, что определяется необходимостью совершенствования и детализации биостратиграфических схем нижней и средней юры севера Восточной Сибири по палиноморфам.

Работа выполнена при поддержке проекта ФНИ № 0331-2019-0004 и гранта РФФИ (проект № 19-05-00130).

БИБЛИОГРАФИЧЕСКИЙ СПИСОК

1. Горячева А.А. Биостратиграфия нижнеюрских отложений Восточной Сибири по данным палинологии // Стратиграфия. Геологическая корреляция. – 2017. – Т. 25. – № 3. – С. 29-60.
2. Глинских Л.А. Биостратиграфия юрских отложений севера Западной Сибири по форманиферам и по остракодам: Автoreferat дис. ... кандидата геолого-минералогических наук // Новосибирск – 2005. – С. 19 с.
3. Никитенко Б.Л. Стратиграфия, палеобиогеография и биофации юры Сибири по микрофауне (фораминиферы и остракоды). – Новосибирск: Паралль, 2009. – 680 с.
4. Решение 6-го Межведомственного стратиграфического совещания по рассмотрению и принятию уточненных стратиграфических схем мезозойских отложений Западной Сибири (Новосибирск, 2003 г.). – Новосибирск: СНИИГГиМС, 2004. – 114 с.
5. Стратиграфия нефтегазоносных бассейнов Сибири. Юрская система / Б.Н. Шурыгин, Б.Л. Никитенко, В.П. Девятов, В.И. Ильина, С.В. Меледина, Е.А. Гайдебурова, О.С. Дзюба, А.М. Казаков, Н.К. Могучева. - Новосибирск: Изд-во СО РАН, филиал “ГЕО”, 2000. - 480 с.

REFERENCES

1. Goryacheva A.A. Biostratigrafiya nizhneyurskikh otlozhenij Vostochnoj Sibiri po dannym palinologii // Stratigrafiya. Geologicheskaya korrelyaciya. – 2017. – Т. 25. – № 3. – S. 29-60.
2. Glinskikh L.A. Biostratigrafiya yurskikh otlozhenij severa Zapadnoj Sibiri po formaniferam i po ostrakodam: Avtoreferat dis. ... kandidata geologo-mineralogicheskikh nauk // Novosibirsk – 2005. – S. 19 s.
3. Nikitenko B.L. Stratigrafiya, paleobiogeografiya i biofacii yury Sibiri po mikrofaune (foraminifery i ostrakody). – Novosibirsk: Parallel', 2009. – 680 s.
4. Reshenie 6-go Mezhvedomstvennogo stratigraficheskogo soveshchaniya po rassmotreniyu i prinyatiyu utochnennyh stratigraficheskikh skhem mezozojskikh otlozhenij Zapadnoj Sibiri (Novosibirsk, 2003 g.). – Novosibirsk: SNIIGGiMS, 2004. – 114 s.
5. Stratigrafiya neftegazonosnyh bassejnov Sibiri. YUrskaya sistema / B.N. SHurygin, B.L. Nikitenko, V.P. Devyatov, V.I. Il'ina, S.V. Meledina, E.A. Gajdebuрова, O.S. Dzyuba, A.M. Kazakov, N.K. Mogucheva. - Novosibirsk: Izd-vo SO RAN, filial “GEO”, 2000. - 480 c.

© A. A. Горячева, 2019